

Une méthode multirésolution adaptative pour les systèmes de réaction-diffusion raides

Thierry Dumont

Institut Camille Jordan

14 juin 2022

Plus de détails :

https://smai-jcm.centre-mersenne.org/item/SMAI-JCM_2017__3__29_0/

Auteurs : Descombes, Duarte, Dumont, Guillet, Louvet, Massot.

$$\frac{\partial u_i}{\partial t}(x, t) - \operatorname{div}(\varepsilon_i(x) \operatorname{grad} u_i(x, t)) = f_i(u(x, t)), \quad x \in \Omega \subset \mathbb{R}^d, \quad t > 0,$$
$$u_i(x, 0) = u_i^0(x), \quad x \in \Omega;$$

Systemes...

$$\frac{dU}{dt} = A_\epsilon U + F(U),$$

On s'intéresse aux cas (fréquents) où :

1. Les systèmes d'EDOs

$$\frac{dU}{dt} = F(U)$$

sont raides.

2. Diffusion « petite ».
3. n équations $n = 2, 5, \dots, 20, \dots 100 \dots$

Splitting

- ▶ Diffusion D :

$$\frac{dV}{dt} = A_\varepsilon V.$$

- ▶ Réaction R :

$$\frac{dW}{dt} = F(W).$$

Splitting

- ▶ Diffusion D :

$$\frac{dV}{dt} = A_\varepsilon V.$$

- ▶ Réaction R :

$$\frac{dW}{dt} = F(W).$$

Schéma de Strang :

$$U_{n+1} = R_{\Delta t/2} \circ D_{\Delta t} \circ R_{\Delta t/2} U_n.$$

Remarques 1) la réaction R .

Une fois discrétisé en espace, $R_{\Delta t/2}$ est calculable en parallèle.
Mais les problèmes sont **raides** :

- ▶ solveur adapté : **Radau5**.
- ▶ temps calcul fortement variable d'un point à un autre et en temps (ondes progressives) : \Rightarrow parallélisme difficile à équilibrer

Remarques 2) la diffusion D .

Diffusion « faible » dans les problèmes intéressants.

\Rightarrow Utiliser des méthodes de Runge-Kutta **explicit** et **stabilisées** :

- ▶ ordre n , mais (beaucoup) plus de n pas (Exemples : Rock2, **Rock4**).
- ▶ Uniquement des produits matrice \times vecteur (et des combinaisons linéaires) \Rightarrow aisément parallélisable.

Problèmes types, exemples

- ▶ La réaction de Belusov-Zhabotinsky (BZ). $m = 3$ inconnues.
Terme réactif

$$f_1(u_1, u_2, u_3) = 10^5 (-2 \cdot 10^{-2} u_1 - u_2 u_1 + 1.6 u_3),$$

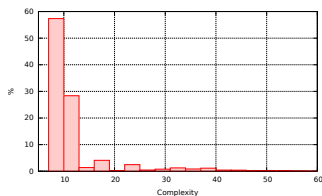
$$f_2(u_1, u_2, u_3) = 10^2 (u_2 - u_2^2 - u_1(u_2 - 2 \cdot 10^{-2})),$$

$$f_3(u_1, u_2, u_3) = u_2 - u_3.$$

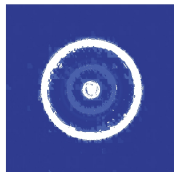
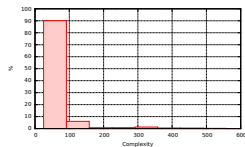
- ▶ Un modèle d'AVC. $m = 21$ équations, particulièrement raide.
Le Jacobien vers $F(U) = 0$ a des valeurs propres dans $[-10^8, 0[$ (modélisation de canaux ioniques).

Illustrations. Grille cartésienne 1024×1024 .

Le calcul de la réaction.



BZ : à droite : zones où le coût calcul est $> 17\times$ le coût minimum.



STROKE. À droite : zones où le coût calcul est $> 80\times$ le coût minimum.

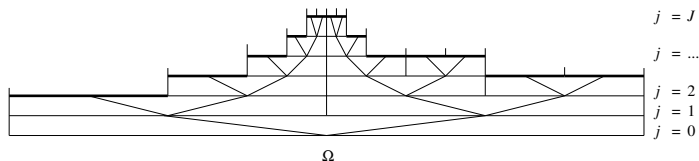
- ▶ BZ : 87 % du temps CPU consommé dans les régions où la complexité est inférieure à 17.
- ▶ STROKE : 90 % du temps CPU consommé dans les régions où la complexité est inférieure à 60.

- ▶ BZ : 87 % du temps CPU consommé dans les régions où la complexité est inférieure à 17.
 - ▶ STROKE : 90 % du temps CPU consommé dans les régions où la complexité est inférieure à 60.
1. Stratégie de « Maillage adaptatif ».
 2. Parallélisation : comment faire ? (les zones coûteuses sont « mobiles ».)

Adaptation de maillage : multiresolution adaptative

$$\Omega = [0, 1]^d, \quad d = 1, 2, 3$$

Division récursive dyadique du niveau $j = 1$ au niveau $j = J$.
Volumes finis associé à *toutes* les cellules (nœuds, feuilles) de l'arbre :



On s'intéresse à la solution sur les feuilles, mais la solution est stockée sur toutes les cellules.

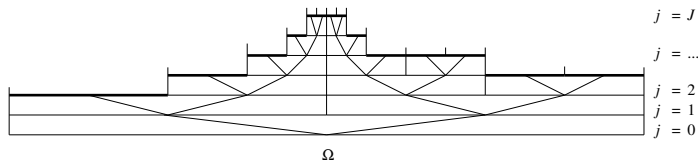
Opérateurs de prolongement et de restriction

- ▶ P_{j-1}^j (restriction : du niveau j vers le niveau $j - 1$: moyenne.
- ▶ P_j^{j-1} (prolongement : du niveau $j - 1$ vers le niveau j : interpolation polynomiale entre deux voisins :

$$\hat{u}_{j+1,2k} = u_{j,k} + \frac{1}{8}(u_{j,k-1} - u_{j,k+1}),$$

$$\hat{u}_{j+1,2k+1} = u_{j,k} + \frac{1}{8}(u_{j,k+1} - u_{j,k-1}).$$

En dimension > 1 , produit tensoriel.



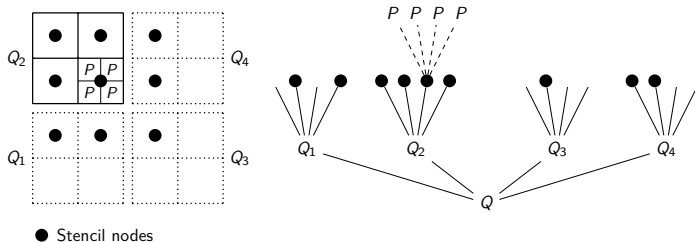
Détails, adaptation

$$d_{j,k} = u_{j,k} - P_j^{j-1} \circ P_{j-1}^j u_{j,k}.$$

Adaptation basée sur la taille des détails.

Implantation : problème de localisation des données

Exemple en dimension 2 :



Nécessite une structure de donnée adaptée.

Z-order, Morton code,...

Au niveau j , les coordonnées x_i d'un nœud P exprimées en base 2 sont :

$$x_i = 0.x_{i,1}x_{i,2} \cdots x_{i,j-1}x_{i,j}.$$

L'abscisse de Morton est définie en intercalant les digits des différentes coordonnées. Exemple en dimension 2 :

$$s = x_{1,1}x_{2,1}x_{1,2}x_{2,2} \cdots x_{1,j}x_{2,j}.$$

Z-order, Morton code,...

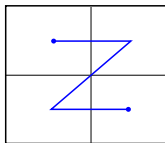
Au niveau j , les coordonnées x_j d'un nœud P exprimées en base 2 sont :

$$x_j = 0.x_{i,1}x_{i,2} \cdots x_{i,j-1}x_{i,j}.$$

L'abscisse de Morton est définie en intercalant les digits des différentes coordonnées. Exemple en dimension 2 :

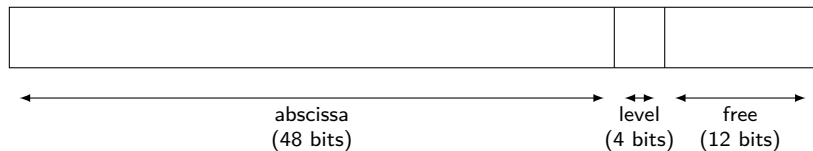
$$s = x_{1,1}x_{2,1}x_{1,2}x_{2,2} \cdots x_{1,j}x_{2,j}.$$

Peut aussi être vue comme une numérotation récursive, par quadrants successifs.



-Le Z-

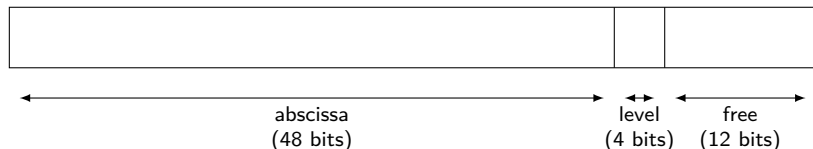
En pratique



Représentation d'un nœud sur un entier 64-bits.

ce qui permet 16 niveaux en dimension 3.

En pratique



Représentation d'un nœud sur un entier 64-bits.

ce qui permet 16 niveaux en dimension 3.

Les nœuds sont stockés dans des blocs. Le bloc k stocke les nœuds d'abscisse $\in [s_k, S_k]$.

- ▶ On s'arrange pour que les tailles des blocs soit à *peu près* constantes.
- ▶ Les nœuds ne sont pas ordonnés par abscisse croissante dans les blocs (plus efficace!).
- ▶ Un *arbre binaire* permet de gérer efficacement la collection de blocs.

Parallélisme

On peut vérifier, moyennant quelques astuces, que le calcul des détails, des raffinements et des dé-raffinements peuvent être effectués en parallèle.

Parallélisation

- ▶ Mémoire partagée.
- ▶ Threading Building Blocks (TBB, Intel, licence Apache v2.0).

Parallélisme par **vol de tâches** :

- ▶ Adaptée aux calculs hétérogènes.
- ▶ Composable (utile pour la gestion du maillage).

C++, utilisation « simple ».

Parallélisation

1. Réaction : une tâche = un bloc de nœuds.
2. Diffusion :
Méthode Rock appliquée à un problème linéaire = appliquer un polynôme de la matrice à un vecteur.
Schéma de Horner, parallélisation des produits matrice \times vecteur (et des combinaisons linéaires).

Le stockage des inconnues

Stockage nœud par nœud ou stockage inconnue par inconnue ?

Le stockage des inconnues

Stockage nœud par nœud ou stockage inconnue par inconnue ?

L'intensité arithmétique de Radau5 est grande par rapport à celle des produits matrice \times vecteur

\Rightarrow **stockage par inconnues.**

Performances

► 2d :

		<i>J</i>		
		8	9	10
BZ	MR	1.14×10^{-2}	2.51×10^{-2}	4.06×10^{-2}
	CM	1.31×10^{-2} (1.2)	4.06×10^{-2} (1.6)	1.78×10^{-1} (4.4)
STROKE	MR	2.4×10^{-2}	4.03×10^{-2}	1.03×10^{-1}
	CM	3.2×10^{-1} (13.3)	1.21 (30.0)	4.80 (46.6)

Performances

► 2d :

		<i>J</i>		
		8	9	10
BZ	MR	1.14×10^{-2}	2.51×10^{-2}	4.06×10^{-2}
	CM	1.31×10^{-2} (1.2)	4.06×10^{-2} (1.6)	1.78×10^{-1} (4.4)
STROKE	MR	2.4×10^{-2}	4.03×10^{-2}	1.03×10^{-1}
	CM	3.2×10^{-1} (13.3)	1.21 (30.0)	4.80 (46.6)

► 3d :

		<i>J</i>	
		8	9
BZ	MR	0.97	5.75
	CM	3.05 (3.1)	23.60 (4.1)
STROKE	MR	1.53	10.81
	CM	76.68 (50.0)	610.50 (56.5)

Simulations 3D, 10 niveaux max., 40 threads. Pourcentage de temps CPU :

	BZ	STROKE
Mesh Adaptation	19.23	7.20
Reaction Solver	56.23	88.89
Diffusion Solver	24.54	3.91

Quelques éléments pour conclure

- ▶ Efficacité.
- ▶ Complexité de l'implantation.
- ▶ Le vol de tâches :
 - ▶ simple en mémoire partagée.
 - ▶ Attention aux machines NUMA !
 - ▶ Généralisation en mémoire distribuée ?
 - ▶ L'avenir en mémoire partagée (cf. Rust) ?